



تقييم تدهور الأراضي بحوض وادي غين للفترة بين 2004-2024م باستخدام الجيومكانيّة

د. العجيلية بشير أحمد بشير

أستاذ مساعد بقسم الجغرافيا / كلية التربية / جامعة الزاوية

Al.basheer@zu.edu.ly

2025/03/06 تاريخ الاستلام 2025/06/04 تاريخ القبول 2025/07/01 تاريخ النشر

الملخص:

هدفت الدراسة لتقييم تدهور الأراضي لحوض غين باستخدام تقنيّي نظم المعلومات الجغرافية والاستشعار عن بعد (RS - GIS)، من خلال الاعتماد على المرئيات الفضائية للأقمار الصناعية (Landsat-5-8)، لكل من المحسّسات (TM - OLI)، لستي (2004، 2024م)، وطبقت المؤشرات الطيفية لمعرفة التغيير الحاصل في التدهور، وقُتلت المؤشرات في: مؤشر الاختلاف النباتي (NDVI)، ومؤشر القشرة البيولوجية (CI)، ومؤشر دليل التعرية (DBSI)، ومؤشر تدهور الترب (LDI)، بالاعتماد على المنهج التارخي، والمنهج الوصفي التحليلي، والمنهج الكمي في معالجة وتحليل البيانات المتحصل عليها من تلك المرئيات الناتجة جائتاً على شبكة الأنترنت من موقع مصلحة المساحة الجيولوجية الأمريكية (USGS).

وأظهرت الدراسة التغيرات التي حصلت في تدهور الأراضي، إذ بینت مؤشرات التدهور أنها في سنة 2024 سجلت أكبر مساحة في مؤشر الاختلاف النباتي، صنف الأرضي الجرداء درجة التدهور الشديد بمساحة بلغت نحو 450.94 كم²، وبنسبة 999.54% من إجمالي مساحة المنطقة، بفارق 25.6% من إجمالي مساحة المنطقة عن سنة 2004م، ومؤشر التعرية العالية درجة التدهور الشديد التي بلغت نحو 380.04 كم² ونسبة 83.89% بفارق 61.86% عن سنة 2004م، والتي تجلّت في معظم مساحة المنطقة، ويرجع ذلك إلى ارتفاع درجة الحرارة وقلة الأمطار والغطاء النباتي، أن مؤشر تدهور الترب الصنف المعدل بلغت مساحته 323.21 كم² بنسبة 71.35% وبفارق 38.8% عن سنة 2004م، بسبب زيادة عمليات التعرية الرياضية الناتجة عن قلة الأمطار، وقلة الغطاء النباتي، وزيادة درجة الحرارة بالمنطقة.

الكلمات المفتاحية: تدهور الأرضي، الجيومكانيّة، المؤشرات الطيفية.

Assessment of Land Degradation in the Wadi Ghabin Basin for the Period (2004–2024) Using Geospatial Techniques

Dr. Al-Ajilia B. A. Bashir

Assistant Professor / Department of Geography

College of Education / University of Zawiya

Al.basheer@zu.edu.ly

Abstract:

This study aimed to assess land degradation in the Wadi Ghabin Basin using Geographic Information Systems (GIS) and Remote Sensing (RS) techniques, based on satellite imagery from Landsat-5 and Landsat-8 sensors (TM and OLI) for the years 2004 and 2024. Spectral indices were applied to detect changes in land degradation, including the Normalized Difference Vegetation Index (NDVI), Crust Index (CI), Drought Barren Soil Index (DBSI), and Land Degradation Index (LDI). The study employed historical, descriptive-analytical, and quantitative methods to process and analyze freely available satellite data from the US Geological Survey (USGS). The results showed significant changes in land degradation over the period. In 2024, the NDVI indicated the largest area of bare lands classified as severely degraded, covering approximately 450.94 km² (99.54% of the total area), marking an increase of 25.6% compared to 2004. The DBSI showed severe erosion degradation over 380.04 km² (83.89% of the area), which is 61.86% higher than in 2004, mainly due to rising temperatures, reduced rainfall, and diminished vegetation cover. The LDI revealed moderate soil degradation over 323.21 km² (71.35%), an increase of 38.8% from 2004, attributed to intensified wind erosion resulting from low rainfall, reduced vegetation, and higher temperatures.

Keywords: Land degradation, Geospatial techniques, Spectral indices.



مقدمة:

تُعد دراسة تقييم الأراضي من الدراسات الحيوية المهمة على المستوى المحلي والإقليمي، لكون تدهور الأرضي من المشكلات البيئية التي تحدد أراضي البيئات الجافة وشبه الجافة بل البيئات شبه الرطبة التي تتصف بنظم أيكولوجية هشة ذات درجة حساسية شديدة لأي ضغط للنشاط البشري على عناصر البيئة الحيوية، إذ أن سطح الأرض يمر بمتغيرات سريعة بسبب النمو السكاني المتزايد والتصنيع والرعى الجائر، كل ذلك نتج عنه نقص في المياه وتعرية التربة وإزالة الأشجار والتلوّن العلوي على حساب الأرضي الزراعية وتغير المناخ.

وتعرض الغطاء الأرضي بمنطقة الدراسة خلال العقود الأخيرة إلى تغيرات مختلفة أثرت على نظامها البيئي ككل، لذلك استخدمت تقنية الاستشعار عن بعد (RS) في الحصول على المعلومات المتعددة ، بشكل مستمر لمراقبة التغيرات الحاصلة في الغطاء الأرضي وإجراء المقارنات بين فترات زمنية مختلفة وإنتاج خرائط رقمية توضح ذلك، ولاسيما بعد تحسين قدرة التمييز للمتحسنات التي تحملها هذه الأقمار(حلف، وآخرون، 2020م، ص244) وفي هذه الدراسة تم الاعتماد على المئيات الفضائية (8-5-Landsat) لستي (2004، 2024م) من موقع هيئة المساحة الجيولوجية (USGS)، واستخدم أربع مؤشرات لمراقبة التغير في تدهور الغطاء الأرضي عن طريق بيئة نظم المعلومات الجغرافية.

مشكلة الدراسة:

عاني حوض وادي غين من مظاهر تدهور بيئي ناتجة عن عوامل طبيعية وبشرية، في ظل نقص البيانات والدراسات الميدانية. وتبرز الحاجة إلى توظيف التقنيات الحديثة كـ GIS والاستشعار عن بعد لرصد هذا التدهور وتحديد أنماطه وأسبابه بدقة، بما يسهم في دعم جهود الحماية والتخطيط البيئي المستدام، ومن هنا تكمن مشكلة الدراسة في الإجابة عن التساؤلين الآتيين:

- ما هو دور التقنيات الحديثة في تقييم تدهور الأرضي بمنطقة الدراسة خلال المدة (2004-2024م)؟
- هل هناك تغير في مساحة ونسبة تدهور الأرضي بمنطقة الدراسة للفترة بين (2004-2024م)؟

فرضياتها:

- يمكن الاستعانة بالتقنيات الحديثة في تقييم تدهور الأراضي بمنطقة الدراسة اعتماداً عن المؤشرات الطيفية عن طريق بيئة نظم المعلومات الجغرافية.
- هناك تغير ملحوظ وكبير في مساحة ونسبة تدهور الأراضي بمنطقة الدراسة للفترة بين (2004 – 2024).

أهدافها:

- دراسة وتقييم التغيرات التي طرأت على الغطاء الأرضي في منطقة الدراسة والتعريف بها في الساحة العلمية.
- إنتاج خرائط تبين تدهور الأراضي لمنطقة الدراسة.
- الإسهام في تقديم توصيات وإجراءات يمكن اتباعها للحد من تدهور الأرضي واستعادة الغطاء النباتي.

أهميةتها:

يشكل الغطاء الأرضي بحوض غرين مصدرًا مهمًا لعدد من الموارد والثروات الطبيعية التي يمكن استغلالها بما يحقق الاكتفاء الذاتي من منتجاتها، وبالتالي توجيه أنظار الجهات المسؤولة بالبلدية والدولة تجاهه لما يتعرض له من مخاطر كالتعريفة مما تقلل من قيمته الاقتصادية.

منهجية الدراسة وأدواتها:

تم استخدام عدة مناهج عملية في هذه الدراسة منها: المنهج التاريخي والمنهج الوصفي التحليلي والمنهج الكمي لتقييم حجم التغير في الغطاء الأرضي بمنطقة الدراسة للفترة من (2004 – 2024)، واشتقت البيانات من مصادر عدة أهمها:

- المصادر المكتبية: تتمثل في الكتب والرسائل العلمية والأبحاث العلمية المنشورة وغير المنشورة.
- نموذج الارتفاع الرقمي بدقة تميزية 12.5×12.5 متر المتوفّر في الموقع <https://vertex.daac.asf.alaska.edu>
- الخرائط الطبوغرافية مقاييس 1: 50.000 اللوحات رقم 2/2188، 4/2188، 1/2188، الصادرة عن مصلحة المساحة، طرابلس سنة 1980م.



4- مركبات فضائية تعطي منطقة الدراسة، والجدول (1) يوضح موصفات هذه المركبات.

جدول (1) موصفات المركبات الفضائية المستخدمة في الدراسة.

القمر الصناعي	نوع المستشعر	الدقة التمييزية	عدد البيانات	تاريخ المركبات الفضائية
Landsat-5	TM	3oM	7	27/6/2004
Landsat-8	OLI_TIRS	3oM	11	18/6/2024

المصدر: اعتماداً على الموقع الإلكتروني التابع لجنة المساحة الجيولوجية <http://earthexplorer.usgs.gov>

البرامج المستخدمة في الدراسة:

1- برنامج إيرداس 14 ARDAS: استخدم لأجزاء المعالجة الأولية للمركبات الفضائية، والتي تشمل التصحيح الهندسي والتصحيح الإشعاعي، حيث يتم تنقية المركبات من الشوائب والغازات والسحب الموجودة في الغلاف الجوي، إضافة إلى استخدام نموذج الارتفاع الرقمي DEM لاستخراج حوض الوادي.

2- برنامج الأراك جي أي أس 10.8 ARC GIS: وتم من خلاله استخراج قيم تدهور الأرضي اعتماداً على المؤشرات الطيفية، كما تم الاعتماد عليه أيضاً في رسم خرائط التغير تدهور الأرضي بالمنطقة خلال فترة الدراسة.

الدراسات السابقة:

- دراسة (حاشوش، 2021)، بعنوان كشف تغيرات الغطاء الأرضي لمحافظة ذي قار للمرة 2013-2020م باستخدام المؤشرات الطيفية، هدفت إلى تقييم قدرة وإمكانية مدى دقة استخدام المؤشرات الطيفية لكشف التغير في الغطاء الأرضي باستخدام التقنيات المغرافية الحديثة، أظهرت نتائج الدراسة أهمية تكامل تقنيات نظم المعلومات المغرافية والاستشعار عن بعد في مراقبة وكشف التغير للظواهر البيئية التي تتسنم بالдинاميكية كالغطاء الخضري والأجسام المائية، إذ كانت أداة فاعلة وسريعة في الحصول على نتائج بسرعة وبتكلفة وجهد قليلين.

- دراسة (العاني، 2022)، بعنوان تقييم تدهور الأرضي في حوض وادي الحمدي باستخدام التقنيات الحديثة، تناول فيها تقييم حالة تدهور الأرضي في حوض وادي الحمدي باستخدام أحدث التقنيات (RS-GIS) لمعرفة حالة الغطاء النباتي للمرة 2001 -

2011 – 2021م)، أوضحت الدراسة حالة الضعف العام للغطاء النباتي وكشفت عن التغيرات التي حصلت من تدهور للأراضي.

– دراسة (الجنابي، 2022)، بعنوان التكامل بين معطيات التحسس النائي ونظم المعلومات الجغرافية في تحليل الغطاء الأرضي لمنطقة المسبب، هدفت إلى كشف التغيرات وتحليل الغطاء الأرضي واستعمالات الأرض في منطقة المسبب، من خلال تكامل تقنيات التحسس النائي ونظم المعلومات الجغرافية اعتماداً على المئيات الفضائية (Landsat 7,8)، توصلت الدراسة إلى اتساع مساحة الأرضي الجرداً بشكل كبير على حساب الأرضي الزراعية التي تناقصت مساحتها سنة 2022م.

– دراسة (أمين والجنابي، 2023)، بعنوان تغيرات الغطاء الأرضي لمنطقة المسبب – بابل باستخدام بيانات الاستشعار عن بعد ونظم المعلومات الجغرافية، تناولت تحليل وكشف التغيرات في أنماط الغطاء الأرضي في منطقة المسبب للمرة بين (2000 – 2020م)، أفرزت نتائج الدراسة أن أنماط الغطاء الأرضي قد تغيرت خلال مدة الدراسة، إذ تعدد الغطاء الحضري والأرضي الجرداً وتوسعت على حساب الأرضي الزراعية، وتراجعت الأرضي الزراعية.

– دراسة (العزاوي، 2023)، بعنوان تقييم تغير الغطاء الأرضي واستعمالات الأرض في قضاء الخالص باستخدام المؤشرات الطيفية، درست تقييم تغير الغطاء الأرض واستعمالات الأرض في قضاء الخالص باستخدام المؤشرات الطيفية للمرة (1997 – 2021م)، أظهرت الدراسة التغيرات التي حدثت للغطاء الأرضي، إذ كشفت إن الغطاء النباتي (NDVI)، ومؤشر الغطاء النباتي للأشعة تحت الحمراء (IDVI)، ومؤشر النبات المعدل للتربيه (SAVI) تناقص المساحات المغطاة بالغطاء النباتي لصالح الأرض الجرداً والأرض القليلة النبات، في حين كشف مؤشر الكتل العمرانية (NDBI) عن تزايد مساحة صنفي الأرضي المتوسطة العمران والكتيبة العمران على حساب الأرضي الحالي والقليلة العمران.

حدودها:

1- الحدود المكانية:

يقع حوض وادي غبين في شمال غرب ليبيا، ويبعد عن العاصمة طرابلس نحو 150 كم وعن مدينة بنغازي وليد مسافة 4 كم، وبلغ مساحته نحو 453.01 كم²، ويقع بين خطى

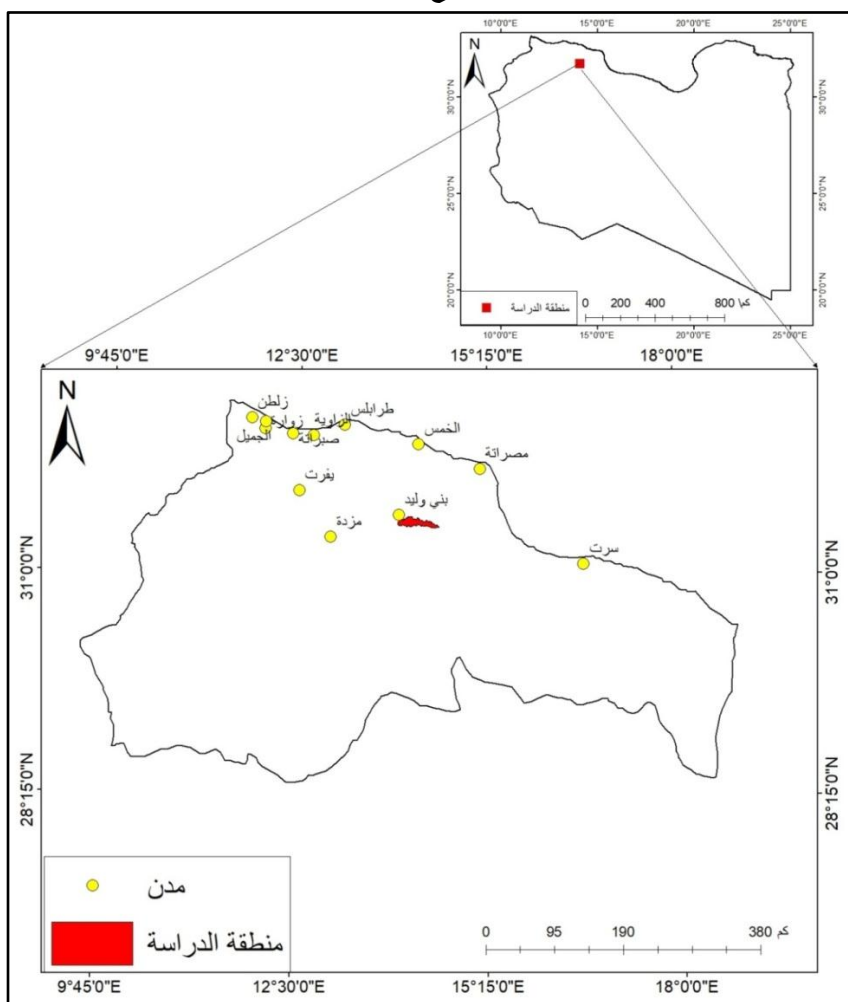


طول $23^{\circ}26'56''$ ، $31^{\circ}38'14''$ ، $32^{\circ}51'13''$ ، $38^{\circ}14'32''$ شرقاً، و دائري عرض $25^{\circ}25'25''$ ، $31^{\circ}31'46''$ شمالاً خريطة (1)

2-الحدود الزمانية:

تتمثل في المدة الزمانية من (2004-2024م).

خريطة (1) موقع منطقة الدراسة.



المصدر: اعتماداً على: مصلحة المساحة، ليبيا، 2009م.

الخريطة الطبوغرافية مقاييس 1: 50.000، طرابلس، سنة 1980م، وبيانات نموذج الارتفاع الرقمي

.(DEM)

المؤشرات الطيفية المستخدمة في الدراسة:

1- مؤشر الاختلاف النباتي (NDVI)

يعد هذا المؤشر من المؤشرات الواسعة الانتشار التي تستخدم بكثرة من قبل الباحثين كمقياس لكتافة الغطاء النباتي ويستخدم لمعرفة حالته، بافتراض إن قيم هذا المؤشر تتناسب إيجابياً مع كثافة الغطاء النباتي في مساحة عنصر الصورة (Najeeb, 2009, p4)، إذ يعتمد عمل المؤشر على الأشعة الحمراء وتحت الحمراء لذا فإن المناطق التي تتواجد فيها غطاء نباتي في أفضل حالته تعمل مادة الكلوروفيل الموجودة في أوراق النباتات على امتصاص الأشعة الحمراء على العكس في المناطق الحالية من النبات أو في سوء حالته تعكس الأشعة تحت الحمراء، وبالتالي فإن الأرضي التي يتواجد فيها غطاء نباتي مختلف في خصائصها الطيفية عن المناطق والأراضي الحالية أو التي تكاد تخلو من النباتات (المهداوي، 2019، ص 153)، وبحسب وفق المعادلة الآتية (Gilabert, 2002, P304) .

$$NDVI = (NIR - RED) / (NIR + RED)$$

$$Landsat TM , NDVI = (Band 4 - Band 3) / (Band 4 + Band 3)$$

$$Landsat OLI , NDVI = (Band 5 - Band 4) / (Band 5 + Band 4)$$

تتراوح قيم هذا المؤشر بين (-1, +1)، إذ تشير القيم القريبة من +1 إلى وجود غطاء نباتي كثيف وإن اقترب القيم من الصفر يشير إلى وجود غطاء غير كثيف ومبعثر.

2- مؤشر القشرة البيولوجية (CI)

تُعدُّ الفشرة البيولوجية من المكونات المهمة في النظام الأيكولوجي من خلال دورها في المشاركة في استقرار التربة وخصوبتها وانتاجيتها ومقاومتها لعمليات التعرية المائية والريحية، إذ يتمتع هذا المؤشر برصد الطبقة الرقيقة من سطح التربة والتي تمتاز بوجود الأشنات والطحالب والبكتيريا والفطريات فيها (Belnp, 2003, p110)، يعتمد هذا المؤشر على فرق بين نطاق الأشعة الحمراء (RED) ونطاق الأشعة الزرقاء (Blue)، وبحسب وفق المعادلة التالية .(Karanieli, 1997, p1214)

$$CI = 1 - (RED - Blue) / (RED + Blue)$$

$$Landsat TM , CI = 1 - (Band 3 - Band 1) / (Band 3 + Band 1) \\ Landsat OLI , CI = 1 - (Band 4 - Band 2) / (Band 4 + Band 2)$$

إذ يتراوح قيم هذا المؤشر بين (0 - 2) (أبي والي وأبي الحير، 2004، ص 340)،



فكلاًما اقتربت القيمة من الصفر دلت على قشرة ضعيفة ، وكلما اقتربت من 2 دلت على أنها قوية جداً، لذلك تم تصنيف منطقة الدراسة إلى ثلاثة أصناف.

3- دليل التعرية (DBSI) Degradation of Baring Soil Index

يستخدم هذا المؤشر لتقدير حالات التعرية الريحية في المنطقة واعطاء صورة كاملة عن الغطاء النباتي القليل الكثافة أو الانعكاس العالي للترابة وتتراوح قيم المؤشر بين (2+) و (-1)، إذ يعتمد هذا المؤشر على نطاق الأشعة تحت الحمراء القصيرة (SWIR) والنطاق الأخضر المائي (GREEN) وتم حسابه وفق المعادلة التالية (خلف، 2021، ص 145).

$$DBSI = (SWIR - GREEN) / (SWIR + GREEN) - NDVI$$

$$\text{Landsat TM , DBSI} = (Band 5 - Band 2) / (Band 5 + Band 2) - NDVI$$

$$\text{Landsat OLI , DBSI} = (Band 6 - Band 3) / (Band 6 + Band 3) - NDVI$$

4- مؤشر تدهور الترب (LDI) Land Degradation Index

يُعرف بأنه التغير الكمي - والنوعي في خواص وصفات التربة والتي يؤدي إلى انخفاض القدرة الحالية أو الكامنة لهذه الأرض على الإنتاج، وليس من الضرورة مستمر بل قد يكون مؤقتاً كما أنه حالة نسبية تقدر في إطار زمني (أبو علي و أبو الخير، 2004م، ص 13)، ويعتمد المؤشر على النطاق الأخضر المائي (GREEN) ، ونطاق الأشعة الحمراء (RED)، ويجرب وفق المعادلة التالية (أبو علي وآخرون، 2017م، ص 57).

$$LDI = (GREEN + RED) / (GREEN + RED)$$

$$\text{Landsat TM , LDI} = (255 - (Band 2 + Band 3)) / (255 + (Band 2 + Band 3)) \quad \text{Landsat OLI , LDI} = (65535 - (Band 3 + Band 4)) / (65535 + (Band 3 + Band 4))$$

النتائج والمناقشة:

من خلال تطبيق معادلات المؤشرات الطيفية لمنطقة الدراسة التي سبق ذكرها، تم

استخلاص عدة نتائج، أهمها:

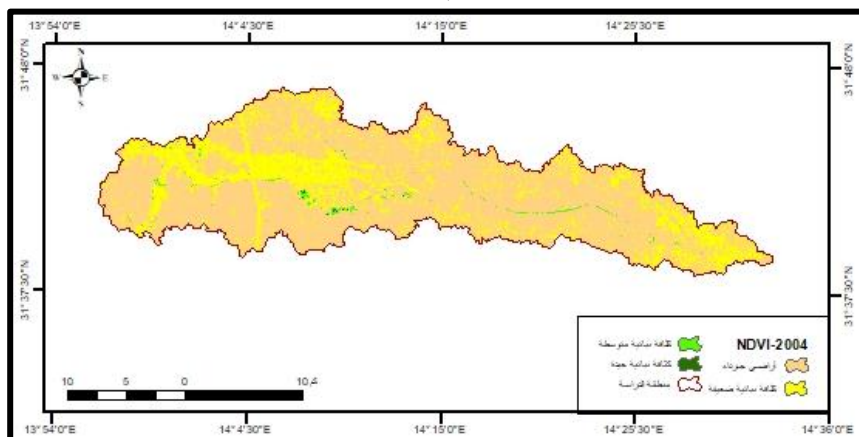
1- نتائج مؤشر الاختلاف النباتي الخضري NDVE:

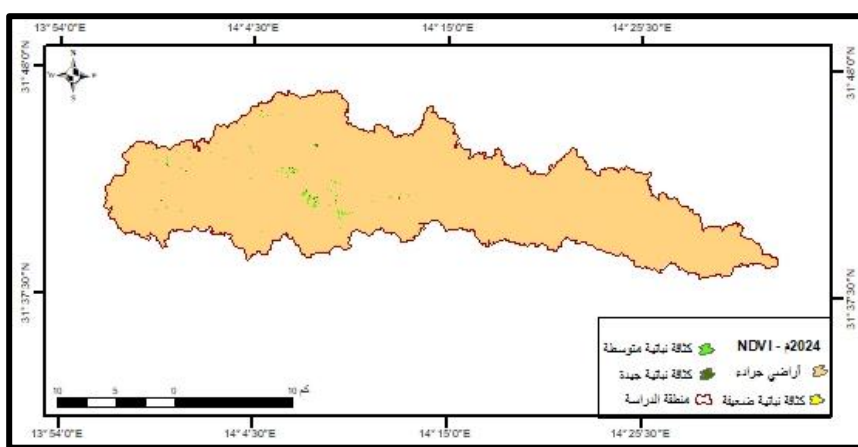
من خلال الخريطة (2)، والجدول (2)، والشكل (1) يتضح أن الأرضي الجرداً درجة التدهور الشديد مثلت أكبر مساحة في المنطقة أقلها سنة 2004م نحو 332.90 كم² بنسبة 673.49%， وتمثلت في الأجزاء الوسطى من المنطقة أما أعلى مساحة شغلتها

بلغت نحو 450.94 كم² بنسبة 99.54% سنة 2024، وتمثلت في معظم المنطقة بفارق 25.6% من إجمالي مساحة المنطقة، يليها صنف الكثافة البنائية الضعيفة سجل أدنى مساحة في المنطقة خلال فترة الدراسة، إذ بلغت أعلى سنة 2004 نحو 115.66 كم² بنسبة 25.53%， شغلت الأجزاء الشرقية والشمالية الغربية والوسط بالمنطقة، وأقل مساحة شغلتها (0.02 كم²) بنسبة 0.004% سنة 2024 بفارق بلغ 25.26%， وانتشرت في أجزاء متفرقة من الشمالي الغربي، التي تمثل درجة التدهور المعتدل، أما سنة 2024 كانت بمساحة أقل وشغلت (0.02 كم²) بنسبة 0.004% بفارق بلغ 25.26%， وانتشرت في أجزاء متفرقة من الشمالي الغربي بالمنطقة، التي تمثل درجة التدهور الشديد، أما صنف الكثافة البنائية المتوسطة المتمثل في درجة التدهور الضعيف فبعد إن كانت تشغّل مساحة 4.17 كم² ونسبة 0.29% في سنة 2004، انخفضت إلى 1.67 كم² بنسبة 0.37% في سنة 2024 م تمثلت في مساحات متفرقة وسط الجزء الجنوبي الغربي للمنطقة، ويرجع سبب تناقص المساحة إلى تعاقب سنوات الجفاف وقلة الأمطار وارتفاع درجة الحرارة بالإضافة إلى التوسع العمراني على حساب الأرضي الزراعية، أما بالنسبة لصنف الكثافة البنائية الجديدة فتقع ضمن درجة التحسن البسيط فقد تناقصت مساحتها من 0.29 كم² سنة 2004 وبنسبة 0.06% إلى 0.378 كم² بنسبة 0.08% سنة 2024، بفارق بلغ 0.2%， تمثلت في أوسط الجزء الغربي للمنطقة.

خريطة (2) خرائط مؤشر الاختلاف الحضري (NDVE)

لمنطقة الدراسة لسنتي (2004-2024م).





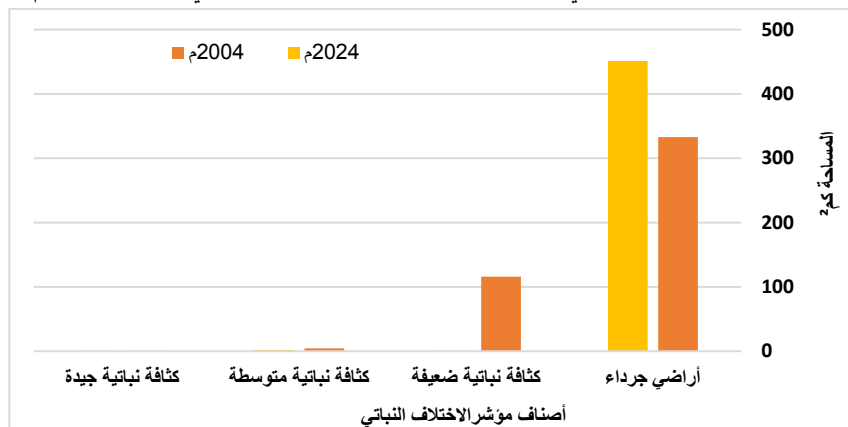
المصدر: اعتماداً على المريات الفضائية لسنوات (2004-2024م)، باستخدام برنامج ARC GIS 10.8

جدول (2) مؤشر الاختلاف النباتي الخضري (NDVE)
لمنطقة الدراسة لسنوي (2004-2024م).

2024		2004		درجة التدهور	الصنف	ت
%	المساحة كم ²	%	المساحة كم ²			
99.54	450.9	73.49	332.90	تدهور شديد	أراضي جراء	1
0.004	0.02	25.53	115.66	تدهور متوسط	كثافة نباتية ضعيفة	2
0.37	1.8	0.92	4.17	تدهور ضعيف	كثافة نباتية متوسطة	3
0.08	0.4	0.06	0.29	تحسين بسيط	كثافة نباتية جيدة	4
100	453.01	100	453.01	-	المجموع	

المصدر: اعتماداً على المريات الفضائية لسنوي (2004-2024م)، باستخدام برنامج ARC GIS 10.8

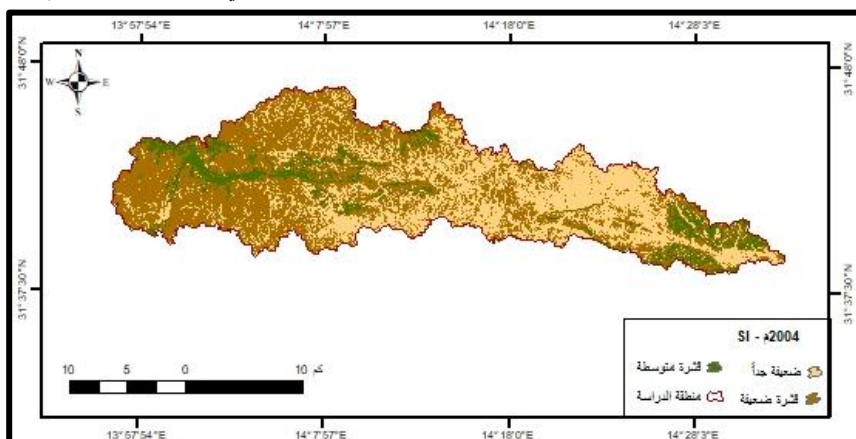
شكل (1) مؤشر الاختلاف النباتي الخضري (NDVE) لمنطقة الدراسة لسنوي (2004-2024م).

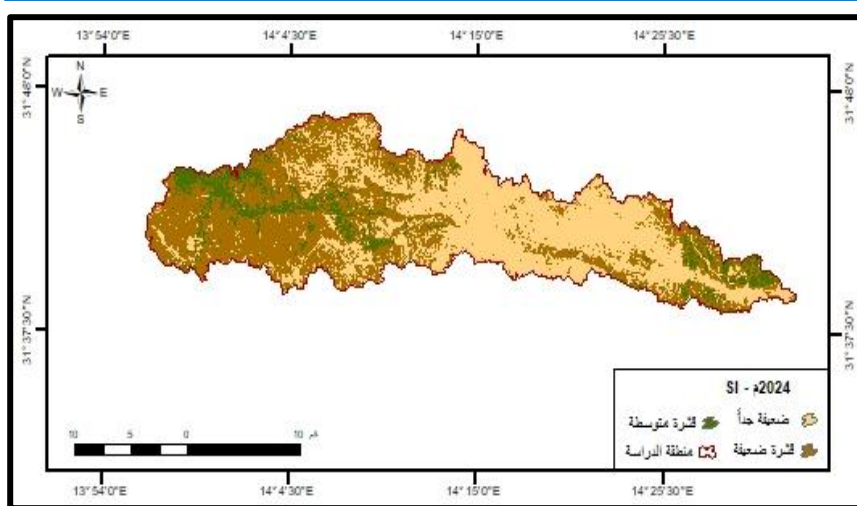


- نتائج مؤشر القشرة البيولوجية: CI

من خلال الخريطة (3)، والشكل (2)، يتضح أن قشرة الحوض تصنف إلى ثلاثة أصناف هي (ضعيفة جداً، ضعيفة، متوسطة)، سجل الصنف الأول القشرة الضعيفة جداً التي تمثل درجة التدهور الشديد أقل مساحة له 170.49 كم^2 سنة 2004 م بنسبة 37.64%， وأعلى مساحة شغلتها سنة 2024 م بلغت 205.09 كم^2 بنسبة 45.26% من إجمالي مساحة المنطقة، وانتشرت في مساحات متفرقة من الجزء الشرقي للمنطقة، وبلغ الفارق بينهما 7.62% من إجمالي المساحة، أما الصنف الثاني القشرة الضعيفة بلغت أكثر مساحة لها 234.68 كم^2 سنة 2004 م بنسبة 51.81%， وأقل مساحة بلغت 202.67 كم^2 بنسبة 44.73% من إجمالي المساحة سنة 2024 م، شغلا الأجزاء الغربية من المنطقة، الواقعة ضمن درجة التدهور المعتدل، أما فيما يخص صنف القشرة المتوسطة الواقعة ضمن درجة التدهور الضعيف فقد تغير تغيراً سلبياً لتصبح مساحتها 10.56 كم^2 في سنة 2024 م، بعد أن كانت مساحتها 47.84 كم^2 بنسبة 45.35% من إجمالي المساحة وبفارق 2.49%， إذ تسود في الأجزاء الشرقية والغربية من المنطقة.

خريطة (3): خرائط مؤشر القشرة البيولوجية CL لمنطقة الدراسة لستي (2004-2024 م).





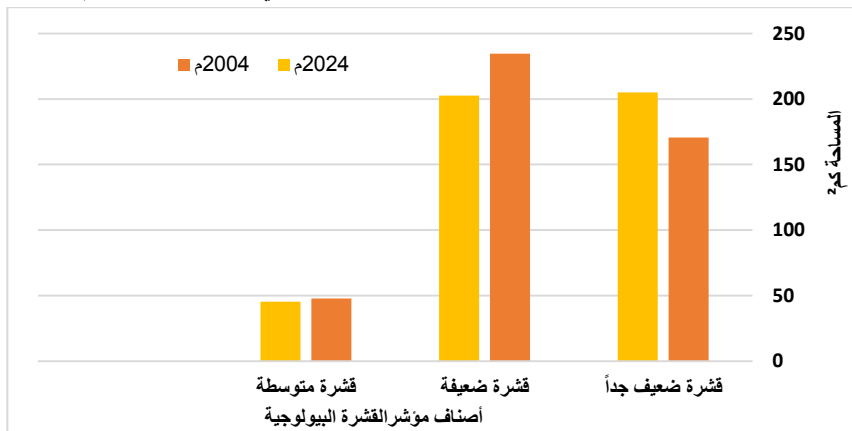
المصدر: اعتماداً على المئيات الفضائية لسنوات (2004-2024م)، باستخدام برنامج ARC GIS 10.8.

جدول (3) مؤشر القشرة البيولوجية CL لمنطقة الدراسة لسنوي (2004-2024م).

2024		2004		درجة التدهور	الصنف	ت
النسبة %	المساحة كم ²	النسبة %	المساحة كم ²			
45.26	205.09	37.64	170.49	تدهور شديد	ضعف جداً	1
44.73	202.67	51.81	234.68	تدهور معتدل	قشرة ضعيفة	2
10.01	45.35	10.55	47.84	تدهور ضعيف	قشرة متوسطة	3
100	453.01	100	453.01	-	المجموع	

المصدر: اعتماداً على المئيات الفضائية لسنوات (2004-2024م)، باستخدام برنامج ARC GIS 10.8.

شكل (2) مؤشر القشرة البيولوجية CL لمنطقة الدراسة لسنوي (2004-2024م)

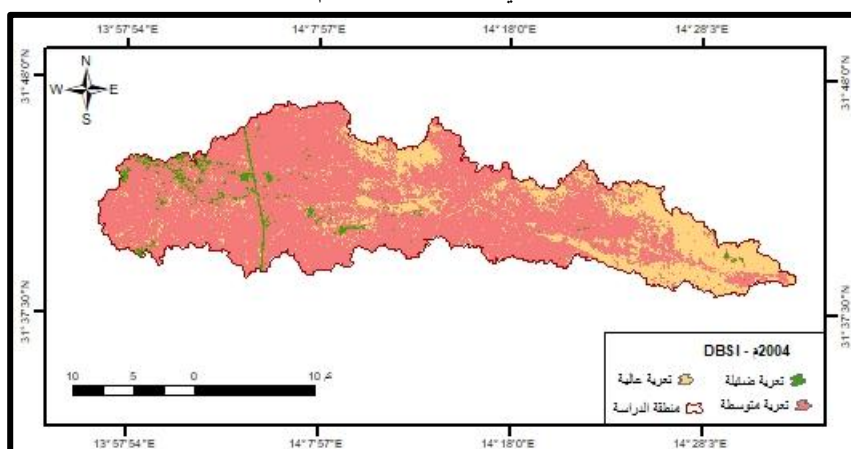


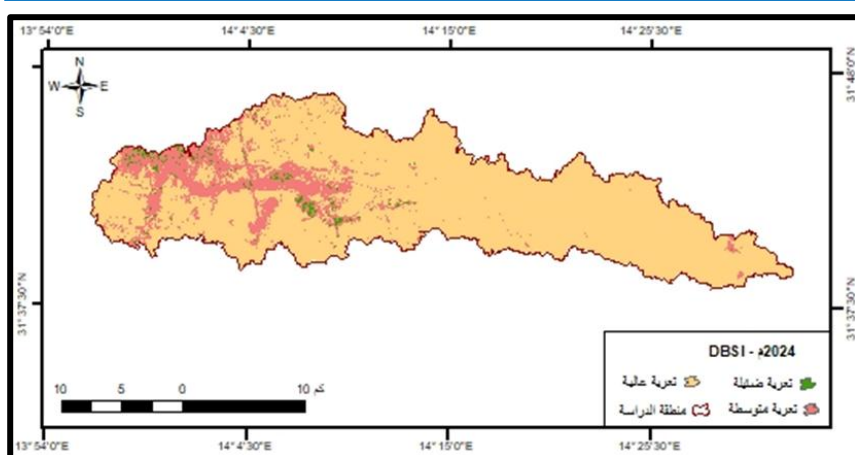
3- نتائج مؤشر دليل التعرية :DBSI

من خلال الخريطة (4)، والجدول (3)، يتضح أن صنف التعرية الضئيلة التي تمثل درجة التدهور الخفيف سجلت أقل مساحة في المنطقة خلال فترة الدراسة، أعلاها سنة 2004م بلغت 13.33 كم² وبنسبة 2.94%， بينما بلغت أدناها 4.95 كم بنسبة 1.09% سنة 2024م بفارق 1.85% والتي تمثلت في مساحات متباينة من الجزء الغربي، أما صنف التعرية المتوسطة التي تفع ضمن درجة التدهور المعتدل بلغت أدنى مساحة لها 339.88 كم² ونسبة 75.03%， سنة 2004م إذ شغلت الأجزاء الوسطى والغربية من المنطقة، بينما سجلت أعلاها سنة 2024م نحو 68.02 كم² ونسبة 15.01% بفارق 60.02%， وتمثلت في أجزاء متباينة من غرب المنطقة، أما صنف التعرية العالية الواقعة ضمن درجة التدهور الشديد بلغت أعلى مساحة 99.80 كم² ونسبة 22.03% سنة 2004م، شغلت الأجزاء الشرقية ومساحات متباينة من وسط المنطقة، بينما ازدادت إلى نحو 380.04 كم² ونسبة 83.89% سنة 2024م بفارق 61.86%， والتي تمثلت في معظم مساحة المنطقة، ويرجع ذلك إلى ارتفاع درجة الحرارة وقلة الأمطار والغطاء النباتي والرعي الجائر كل ذلك يتربّع عليه زيادة في التعرية الريحية.

خريطة (4): خرائط مؤشر دليل التعرية لحوض وادي غبيـن

لستـي (2024 - 2004) (م)





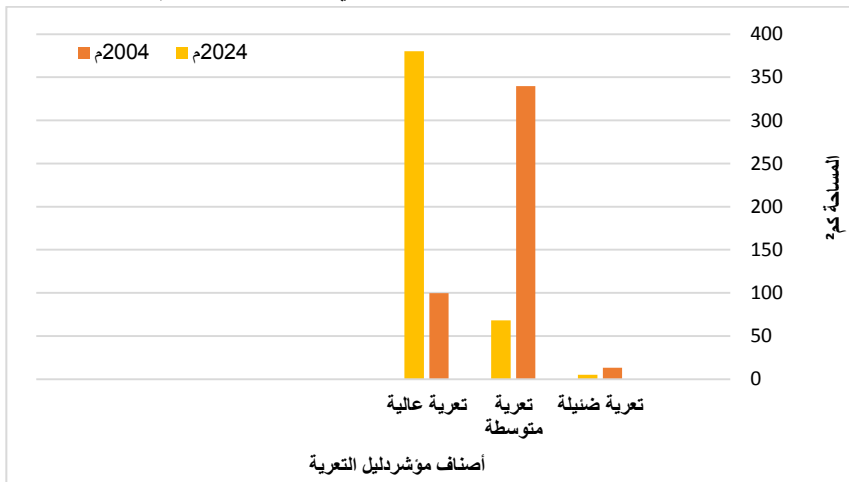
المصدر: اعتماداً على المريات الفضائية لسنوات (2004-2024م)، باستخدام برنامج

جدول (4) مؤشر دليل التعرية DBSI لستي (2004-2024م)

2024		2004		درجة التدهور	الصنف	ت
النسبة %	المساحة كم ²	النسبة %	المساحة كم ²			
1.1	4.95	2.94	13.33	تدهور معتدل	تعرية ضئيلة	1
15.01	68.02	75.03	339.88	تدهور معتدل	تعرية متوسطة	2
83.89	380.04	22.03	99.80	تدهور شديد	تعرية عالية	3
100	453.01	100	453.01	-	المجموع	

المصدر: اعتماداً على المريات الفضائية لسنوات (2004-2024م)، باستخدام برنامج

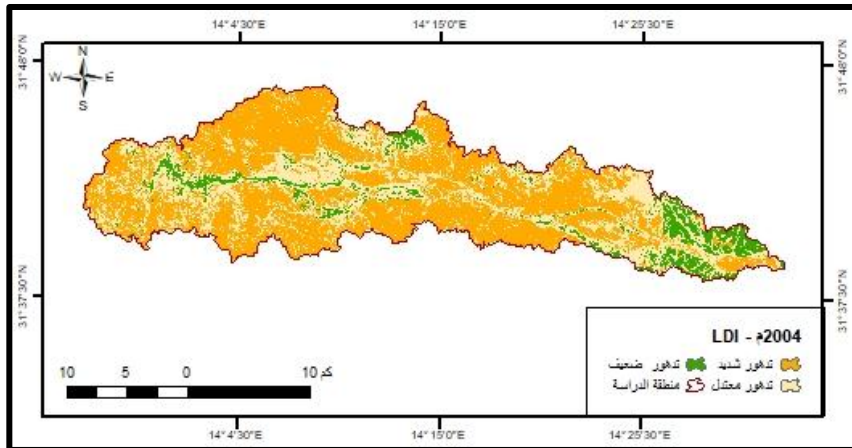
شكل (3) مؤشر دليل التعرية DBSI لستي (2004-2024م).

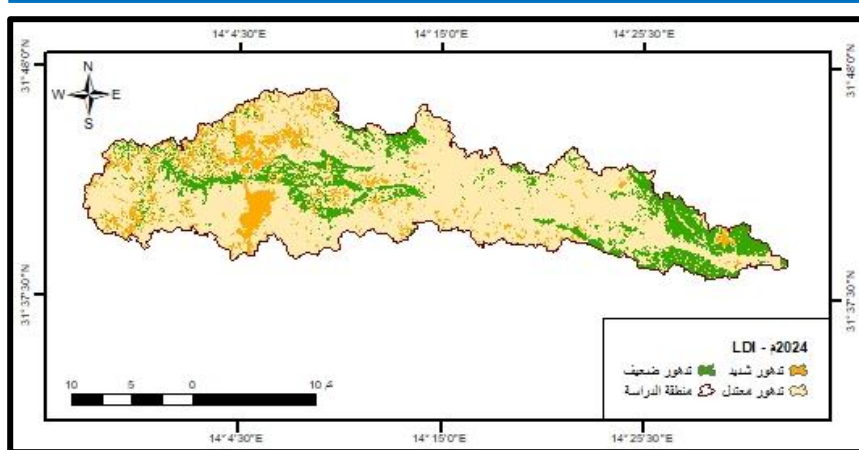


4- نتائج مؤشر تدهور الترب : LDI

من خلال الخريطة (5)، والجدول (4)، يتضح أن هناك تباين في مساحة تدهور الترب لذلك تم تصنيفها إلى ثلاث أصناف هي (تدهور شديد، تدهور معتدل ، تدهور ضعيف)، إذ سجل الصنف الأول التدهور الشديد أعلى مساحة سنة 2004م بلغت 264.94 كم^2 بنسبة 58.48%， وتمثلت في الأجزاء الوسطى والغربية من المنطقة القليلة الكثافة البنائية المتأثرة بالأملاح، وأقل مساحة لها 50.90 كم^2 بنسبة 11.44% سنة 2024م، إذ شغلت مساحات متفرقة من الجزء الغربي للمنطقة، وربما يرجع السبب في ذلك ازدياد وعي المزارعين بأهمية حماية التربة والبيئة، والتشجير ، ومكافحة التصحر واستصلاح الأراضي، أما الصنف الثاني وهو التدهور المعتدل فقد مثلت المساحة الأكبر للمنطقة سنة 2024م إذ بلغت مساحتها 323.21 كم^2 بنسبة 71.35%， وانتشرت في معظم مساحة المنطقة، بسبب زيادة عمليات التعريبة الرياحية الناجمة عن قلة الأمطار، والغطاء النباتي ، وزيادة درجة الحرارة بالمنطقة وأقل مساحة سنة 2004م سجلت نحو 147.46 كم^2 بنسبة 32.55% تمثلت في أجزاء متفرقة من المنطقة، بفارق 38.8%， أما الصنف الثالث وهو التدهور الضعيف فقد بلغت أعلى مساحة 78.90 كم^2 بنسبة 17.42% سنة 2024م، وأقل مساحة بلغت 40.61 كم^2 بنسبة 8.59% بفارق 8.83%， شغلا مساحات متاثرة من المنطقة.

خريطة (5) خرائط تدهور الترب NDBI لحوض وادي غبين لسنتي (2024-2004).





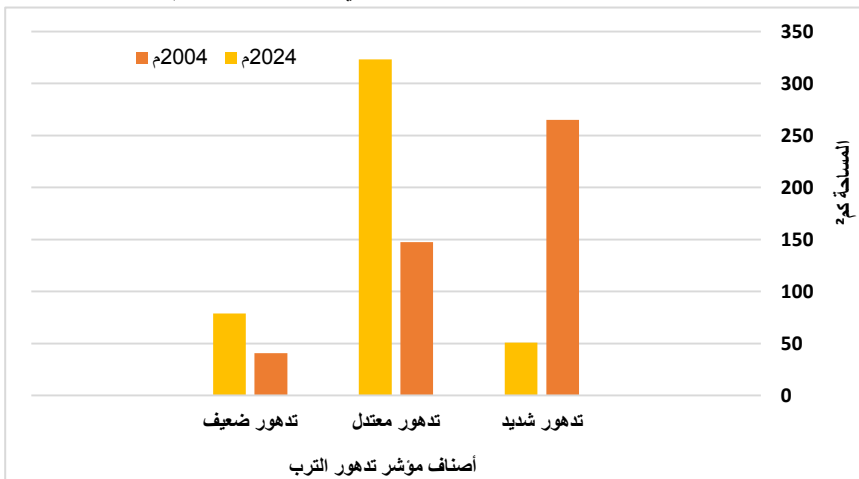
المصدر: اعتماداً على المريات الفضائية لسنوات (2004-2024م)، باستخدام برنامج ARC GIS 10.8

جدول (5) مؤشر تدهور الترب LDI لستي (2024-2004م).

2024م		2004م		الصنف	ت
%	المساحة كم ²	%	المساحة كم ²		
11.24	50.90	58.48	264.94	تدهور شديد	1
71.35	323.21	32.55	147.46	تدهور معتدل	2
17.41	78.90	8.97	40.61	تدهور ضعيف	3
100	435.01	100	435.01	المجموع	

المصدر: اعتماداً على المريات الفضائية لستي (2004-2024م)، باستخدام برنامج ARC GIC 10.8

شكل (4) مؤشر تدهور الترب LDI لستي (2024-2004م).



النتائج:

ومن خلال هذه الدراسة تم التوصل إلى النتائج الآتية:

- أثبتت الدراسة إمكانية استخدام التقنيات الحديثة اعتماداً على بيانات المركبات الفضائية بواسطة المؤشرات الطيفية، في تقييم تغير تدهور الأراضي بمنطقة الدراسة، إذ كانت أداة فاعلة وسريعة في الحصول على النتائج بسرعة وبتكلفة وجهد قليلين.
- بين مؤشر الاختلاف النباتي (NDVI)، إنَّ صنف الأراضي الجرداء الذي يقع ضمن درجة التدهور الشديد مثل أكبر مساحة في المنطقة أقلها سنة 2004م نحو 332.90 كم^2 بنسبة 73.49%， أما أعلى مساحة بلغت نحو 450.94 كم^2 بنسبة 99.54% سنة 2024م، بفارق 25.6%， أما صنف الكثافة النباتية المتوسطة المتمثل في درجة التدهور المتوسط فبعد أن كانت تشغّل مساحة 4.17 كم^2 بنسبة 0.29% في سنة 2004م، انخفضت إلى 1.67 كم^2 بنسبة 0.37% في سنة 2024م ، ويرجع سبب تناقص المساحة إلى تعاقب سنوات الجفاف وقلة الأمطار وارتفاع درجة الحرارة بالإضافة إلى التوسيع العمراني على حساب الأراضي الزراعية.
- يشير مؤشر التعرية DBSI أن التعرية العالية الواقعة ضمن درجة التدهور الشديد بلغت أعلى مساحة 99.80 كم^2 بنسبة 22.03% سنة 2004م، شغلت الأجزاء الشرقية ومساحات متباينة من وسط المنطقة، بينما ازدادت إلى نحو 380.04 كم^2 بنسبة 83.89% سنة 2024م بفارق 61.86%， والتي تمثلت في معظم مساحة المنطقة، ويرجع ذلك إلى ارتفاع درجة الحرارة وقلة الأمطار والغطاء النباتي كل ذلك يتربّ عليه زيادة في التعرية الريحية.
- أوضح مؤشر تدهور الترب LDI أن التدهور الشديد سجل أعلى مساحة سنة 2004م بلغت 264.94 كم^2 بنسبة 58.48%， وتمثلت في الأجزاء الوسطى والغربية من المنطقة القليلة الكثافة النباتية، وأقل مساحة لها 50.90 كم^2 بنسبة 11.44% سنة 2024م، وشغلت مساحات متفرقة من الجزء الغربي للمنطقة، أما صنف التدهور المتوسط فقد مثلت المساحة الأكبر للمنطقة سنة 2024م إذ بلغت مساحتها 323.21 كم^2 بنسبة 71.35%， وانتشرت في معظم مساحة المنطقة، بسبب زيادة عمليات التعرية الريحية الناتجة عن قلة الأمطار، والغطاء النباتي، وزيادة



درجة الحرارة بالمنطقة وأقل مساحة سنة 2004م سجلت نحو 147.46 كم^2 بنسبة 32.55% تمثلت في أجزاء متفرقة من المنطقة، بفارق 38.8%.

الوصيات:

- 1- تعميم نتائج استخدام المؤشرات الطيفية في تقييم تدهور الأراضي لمنطقة الدراسة على مناطق أخرى مجاورة متاشاجحة في الغطاء النباتي.
- 2- إنشاء مركز متخصص في الاستشعار عن بعد ونظم المعلومات الجغرافية في كل الجامعات الليبية، وذلك لعمل مشروع موحد لمتابعة التغيرات، وتحديد مناطق التدهور والسيطرة عليها وتنميتها.
- 3- اقتراح أساليب زراعية مستدامة لتقليل التدهور، مثل: الزراعة العضوية، وزراعة الأشجار حول الحقول لتقليل سرعة الرياح وتأكل التربة، والإدارة المتكاملة للموارد المائية.

المصادر والمراجع:

- أبو واي محمد السعيد، أبو الحير عادل محمد، (2004)، **تدهور الأراضي**، ط1، مكتبة العلم والآباء، كفر الشيخ.
- امين، رقية أحمد محمد، و الجنابي، حسين صدى عباس، (2023)، **تغيرات الغطاء الأرضي لمنطقة المسىب - بابل باستخدام بيانات الاستشعار عن بعد ونظم المعلومات الجغرافية**، مجلة مداد الآداب، مجلد 3، العدد، 3.
- الجنابي، حسين صدى عباس، (2022)، **التكامل بين معطيات التحسس النائي ونظم المعلومات الجغرافية في تحليل الغطاء الأرضي لمنطقة المسىب**، رسالة ماجستير (غير منشورة)، كلية الآداب، الجامعة العراقية.
- حاشوش، وسام حمود، (2021)، **كشف تغيرات الغطاء الأرضي لمحافظة ذي قار للمرة 2020-2013 باستخدام المؤشرات الطيفية**، مجلة كلية التربية للعلوم الإنسانية، جامعة ذي قار، كلية التربية للعلوم الإنسانية، المجلد 11، العدد، 2.
- خلف، سهاد شلاش وآخرون، (2020)، **استخدام المؤشرات والقرائن الطيفية في معالجة ضوابط التصنيف الرقمي الموجة للغطاء الأرضي واستعمالات الأرض (محافظة ديالي أنموذجًا)**، مجلة كامبريدج، مركز كامبريدج للبحوث والمؤتمرات في مملكة البحرين، العدد، 2.

- خلف، سهاد شلال، (2021م)، تحليل المقومات والإمكانيات الهيدروجيومورفية لمحافظة ديالي باستخدام معطيات التحسس النائي ونظم المعلومات الجغرافية، أطروحة دكتوراه (غير منشورة)، كلية التربية للعلوم الإنسانية، جامعة ديالي.
- صوان، سماح محمد، (2017م)، استخدام معطيات أستشعارية في تصنیف مناطق مختارة من مدينة دمشق، رسالة ماجستير (غير منشورة)، جامعة دمشق.
- العاني، نوره عبد اللطيف تركي، (2022م)، تقييم تدهور الأراضي في حوض وادي المحمدي باستخدام التقنيات الحديثة، رسالة ماجستير (غير منشورة)، قسم الجغرافية ، كلية الآداب ، جامعة الأنبار.
- العزاوي، شهد أحمد حسن، (2023م)، تقييم تغير الغطاء الأرضي واستعمالات الأرض في قضاء الخالص باستخدام المؤشرات الطيفية، رسالة ماجستير (غير منشورة)، كلية التربية للعلوم الإنسانية، جامعة ديالي.
- العيساوي، خالد إبراهيم حسين، (2021م)، تطبيق التقنيات الحديثة في تحليل تغير الغطاء الأرضي في قضاء الفلوحة للمدة 1980-2020م، رسالة دكتوراه (غير منشورة)، كلية الآداب، جامعة الأنبار.
- الفهداوي، طه أحمد، (2019م)، تغير الغطاء الخضري باستخدام بعض الدلائل والمؤشرات النباتية لرصد التصحر قضاء الكربمة، محافظة الأنبار، العدد 128، جامعة بغداد، كلية الآداب.
- والي، مثنى خليل إبراهيم، وآخرون، (2017م)، تقييم تدهور أراضي وادي حوران باستخدام دلائل الانعكاسية الطيفية، المجلة العراقية لدراسات الصحراء، كلية الزراعة، جامعة الانبار، المجلد 7، العدد 1.

- Belnap J, (2003). Biological Soil Crusts: Structure, Function, and Management, Springer-Verlag, Berlin, Germany.
- Gilabert, M.A. ,et al. (2002). A generalized soil-adjusted vegetation index. *Remote Sensing of Environment*, Vol 82,N 3.
- Karanieli A,(1997), Development and implementation of Spectral Crust Index Over Dune Sands, Ben- Gurion university of the Negev, Vol18,NO,6 .
- Najeeb A.,A.(2009). Estimation of the Normalized Difference Vegetation Index (NDVI) Variation For Selected Regions in Iraq for two Years 1990 & 2001. *Journal of University of Anbar for Pure Science*, Vol.3 No,3.
- Ogashawara, I., and Bastos, V.D. S. B. (2012),A Quantitative Approach for Analyzing the Relationship between Urban Heat Islands and Land Cover , *Remote Sensing* ,Vol.4,No.11.